

(11) 雨天時負荷流出挙動とそのモデル化

～雨天時流出汚濁負荷の制御に関する研究(2)～

関西大学工学部 和田 安彦

1. 緒 言

現在の下水道システムは晴天時を中心とした家庭排水や工場排水等の点源汚濁物の処理に目が向けられ、雨天時に都市の中で多量に発生し流出してくる非点源汚濁物の制御と処理には十分でないところが多い。そのため、雨天時に都市から多量に流出する負荷により公共用水域の汚濁の原因の一つともなっている。わが国においては都市の単位面積についての一降雨流出負荷量は $1.0 \sim 2.7 \text{ t/Km}^2$ (BOD) といわれている。

この論文では公共用水域を守るために雨天時にどのような汚濁物がどのように流出し、その量は降雨によってどのように変化するのかを明らかにするための基礎的研究とそれらをもとにした雨天時下水道からの流出負荷のモデル化の検討を行なう。各種モデルの利用等の面からの評価を行なうとともに新しい雨天時負荷流出モデルの基礎的考察を行なうものである。

2. 雨天時都市汚濁物の流出

(1) 雨天時流出負荷量

平均的な降雨から各流域で流出する負荷量はわが国で行なわれた研究をまとめると表-1のように表わされる。単位面積当たりBODで $1.0 \sim 2.7 \text{ t/Km}^2$ にある。これらの汚濁源は主として、①晴天時負荷、②管きょ内堆積負荷、③降雨負荷、④下水道周辺環境負荷に分けられ、谷端川排水区¹⁾ (542 ha)

表-1 汚濁流出負荷ポテンシャル

| 場所 | 東京都内 谷端川 排水区 | 札幌市内 排水区 | 大阪府 菊水排水区 |
|-----------------------------|--------------------|-------------|--------------|
| BOD (t/Km ²) | 1~1.6 | 2.32 | 2~2.7 |

では1日を対象として発生負荷量を考えると表-2に示すように、BODでは晴天時に流下している負荷量が多く(66%)、管きょ内堆積物(20.8%)、下水道周辺環境負荷(13.2%)となっている。SSのそれはそれぞれ、9.9%、60.7%、29.4%でBODとSSとは管きょ内堆積負荷量に大きなウェイトの違いが存在する。負荷量のウェイトは対象とする時間によっても異なる。従って発生源については平均降雨時間について検討する必要がある。表

表-2 谷端川における雨天時流出汚濁源

| 項目 発生源 | BOD | | SS | | 単位面積当りの 負荷量 | |
|------------------|--------------|----------------|---------------|----------------|-----------------------------|----------------------------|
| | 堆積負荷 (t) | 割合(%) | 堆積負荷 (t) | 割合(%) | BOD (t/Km ²) | SS (t/Km ²) |
| 1) 晴天時負荷 | 8.0 t/日 | 66.6 | 5.9 t/日 | 9.9 | 1.48 | 1.089 |
| 2) 管きょ内堆積負荷 | 2.5 (2~3) | 20.8 (62.2) | 36.0 | 60.7 (72.9) | 0.461 | 6.642 |
| 3) 降雨負荷 | — | — | — | — | — | — |
| 4) 下水道周辺環境負荷 | ①路面 | 0.66 | 5.5 (16.4) | 3.0 | 5.1 (6.1) | 0.1218 0.5535 |
| | ②間地 | 0.05 | 0.4 (1.2) | — | 0.0092 | — |
| | ③屋根 | 0.041 | 0.3 (1.0) | 0.4 | 0.7 (0.8) | 0.0076 0.0738 |
| | ④雨水マス | 0.77 | 6.4 (19.1) | 14.0 | 23.6 (28.3) | 0.1421 4.354 |
| | ⑤污水マス | — | — | — | — | — |
| | ⑥側溝 | | | | | |
| ():晴天時負荷を除いたもの。 | | 12.021 | | 59.3 | | |

-3は菊水排水区における平均降雨時間(7.37時間)における汚濁源の割合を表わしたものである。夜間の降雨については晴天時負荷量は小さいが平均して表わしており、平均降雨によって管きょ内堆積負荷量や下水道周辺環境負荷量が流出してしまうとしている。昭和49年12月2日から51年12月25日までの2年間における全降雨の平均継続時間は7.37時間であり、この内、実降雨時間の平均時間は2.97

時間である。この表でみると
管きょ内堆積負荷量のウェイ
トが非常に大きくなる。

3. 管きょ内堆積汚泥の特性と負 荷量

(1) 堆積汚泥量の算定

管きょ内に堆積している汚
泥量と負荷量は多いがその定
量化は一般に困難である。全
国の資料があれば管きょこう
配、径別、土地利用別の堆積
負荷量が求められるが、ここでは限られた地域での密な
調査資料であり単位管きょ長当りの管きょ断面積($X \text{ cm}^2$)
と、堆積汚泥量($Y \text{ cm}^3$)との関係を表わすと図-1のよう
になる。多小のばらつきは管きょ内堆積量調査にも存在
するため最小2乗法で回帰すると

$$Y = 2.17 \times 10^{-8} X^{2.405} \quad (1)$$

となる。この関係式をもとにモデル地域における堆積汚
泥量が推定できる。この流域における平均勾配は0.60
‰である。

(2) 管きょ内堆積負荷量

管きょ内堆積汚泥の算定は難しいが、雨水流出水中に
堆積汚泥からの溶出によって負荷量が流出することから、
管きょ内堆積汚泥(10g湿潤)を純水(500cm³)に溶解
かく拌しその負荷量を定量した。乾泥1g当りの含有負
荷量は、BOD $0.057 \sim 0.236 \times 10^{-2} g$, SS $3.887 \sim$
 $9.774 \times 10^{-2} g$, TS $7.00 \sim 7.692 \times 10^{-2} g$, Sol.S
 $2.865 \sim 3.113 \times 10^{-2} g$ である。対象地域(150ha)に
における堆積汚泥量は乾泥量にして634.4tであり、単位面積
当りの管きょ内堆積量は423t/Km²である。これらをもとに、
単位面積当りの堆積負荷量を求める(表-4)と平均値では
BOD $1.50 \text{ t}/\text{Km}^2$, SS $11.8 \text{ t}/\text{Km}^2$, Sol.S $18.1 \text{ t}/\text{Km}^2$, TS
 $27.98 \text{ t}/\text{Km}^2$, 热灼減量 $15.14 \text{ t}/\text{Km}^2$ となる。
モデル排水区における堆積負荷量はBOD, 2.25t, SS,
17.7tとなり、表-1で流出負荷量の收支から求めた負荷量

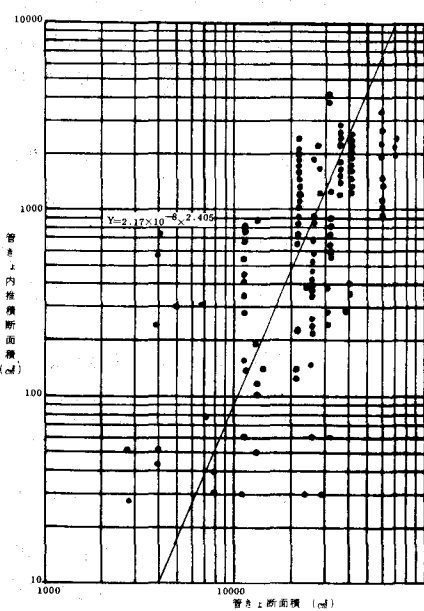
とほぼ対応しており、堆積汚泥量からも求められる。SS堆積量が多いの下流にポンプ場があり管内貯留量が影響しているためと考えられる。降雨によって管きょ内堆積負荷量の大半が
流出している。

また、堆積汚泥の特徴には、

- ① 降雨前後の含有汚濁物量は大きな変化を示しているが、堆積汚泥量は砂等が多く、量そのものにさほど大きな変化はない。
- ② 管きょ内堆積負荷量の回復が早く回復期間は1~2日である。

表-3 菊水排水区における平均降雨時間の流出汚濁源(7.34時間)

| 項目 発生源 | BOD | | SS | | NH₄-N | | PO₄-P | |
|-----------|-------------|-----------|-------------|-----------|-------------|-----------|-------------|-----------|
| | 発生負荷 (t) | 割合 (%) | 発生負荷 (t) | 割合 (%) | 発生負荷 (t) | 割合 (%) | 発生負荷 (t) | 割合 (%) |
| 晴天時負荷 | 0.83 | 23.0 | 0.41 | 1.5 | 0.057 | 90.1 | 0.085 | 96.7 |
| 管きょ内堆積負荷 | 2.23 | 61.8 | 17.58 | 62.6 | | | | |
| 路面 | 0.21 | 5.8 | 0.824 | 2.9 | 0.00094 | 1.5 | 0.00117 | 1.3 |
| 間地 | 0.0184 | 0.5 | | | | | | |
| 屋根 | 0.035 | 1.0 | 0.576 | 2.0 | 0.00529 | 8.4 | 0.00176 | 2.0 |
| 雨水マス | 0.284 | 7.9 | 8.708 | 31.0 | | | | |
| 汚水マス | | | | | | | | |
| 側溝 | | | | | | | | |
| 合計 | 3.6074 | | 28.098 | | 0.06323 | | 0.08793 | |



管きょ断面積と管きょ内堆積汚泥断面積

表-4 単位面積管きょ内堆積負荷量

| 項目 | 範囲 (t/Km²) | 平均堆積負荷量 (t/Km²) |
|-------|---------------|--------------------|
| BOD | 0.70 ~ 3.71 | 1.50 |
| SS | 4.97 ~ 22.48 | 11.80 |
| Sol.S | 8.59 ~ 49.13 | 18.10 |
| TS | 13.22 ~ 67.11 | 27.98 |
| 熱灼減量 | 7.65 ~ 31.74 | 15.14 |

③ 従って、平均的にみると管きょ内には常に一定した汚濁負荷量が存在している。

4. 路面負荷流出モデルと検討

(1) 路面負荷流出モデル

雨天時流出汚濁負荷量を推定するには管きょ内の堆積掃流負荷と路面負荷流出が大きいことから、ここでは路面負荷流出モデルについて検討する。路面負荷の支配因子は

① 先行晴天日数

② 物質の減衰

③ 清掃の間隔と効率

が主要なものであるが、路面に堆積した物質の減衰は測定が難しく、稻場²⁾は下水管きょ内の堆積物の自己減衰係数とほとんど類似と考え、BOD等については第1段階の反応と第2段階の反応とに分けて中西³⁾らの反応速度をもとに次のように表している。

先行晴天日数をNとし、第1段階の反応までの日数をN₀とすると、路面堆積量Sは

$$1) N \leq N_0 ; S = \frac{a}{K_1} (1 - e^{-K_1 N})$$

$$2) N > N_0 ; S = \frac{a}{K_1} (1 - e^{-K_1 N_0}) + \frac{a e^{-K_1 N_0}}{K_2} \{ 1 - e^{-K_2 (N - N_0)} \} \quad (2)$$

K₁は一般に0.065/日とされ、K₁ ≠ K₂としてとり扱っている。

今、一日当たりの単位面積についての堆積負荷量をaとすると、n日後の単位面積当たりの堆積負荷量P(n)

は、
$$P(n) = a \sum_{n=1}^{\infty} e^{-Kn} = \frac{a \{ E^{-K} / (1 - E^{-K}) \}}{1 - E^{-Kn}} \quad (3)$$

ここで、Kは総合的な反応速度係数である。道路清掃間隔N₀により次の2つの場合に分けられる。

$$1) n \leq N_0 \quad P(n) = \frac{a \{ E^{-K} / (1 - E^{-K}) \}}{1 - E^{-Kn}} + P_0 \quad (4)$$

$$2) n > N_0 \quad P(n) = P_0 (1 - e)^m + a \{ E^{-K} / (1 - E^{-K}) \} (1 - e^{-Kn}) \times \{ (1 - e)^m + (1 - e)^{m-1} + \dots + (1 - e) \} \\ + a \{ E^{-K} / (1 - E^{-K}) \} \{ 1 - e^{-K(n-m-N_0)} \} \quad (5)$$

ここで；P₀；先行降雨後の路面残存堆積負荷量

E；清掃効率

m；先行降雨後の清掃回数

総括反応速度KについてはBODではSartor⁴⁾は0.01/日を、中西³⁾は0.065/日を示しているが、
$$E^{-K} / (1 - E^{-K}) \approx 1 / K \quad (6)$$

と近似しても、K=0.01/日でその近似誤差は0.0005、K=0.065でのそれは0.002であり、総括反応係数が比較的大きいレベルでは近似値でさして問題はないといえる。

以上は路面堆積負荷量の減衰について検討したものであるが、この堆積負荷量が降雨によってどのように流出するかを検討する必要がある。地表面負荷流出M_PはSTORM⁵⁾では

$$M_P = A P (1 - e^{-KR\Delta T}) / \Delta T \quad (7)$$

と表わしている。

ここで、A；ブロックごとの路面面積

K；総括流出減衰係数(流出減衰係数×流出係数)

R；降雨強度

式-4，5と式-7により路面に堆積した負荷量の降雨時流出を算定することができる。

(2) モデル計算

計算に当っては $K = 0.01$ とし、実測資料をもとにして、

$$K_{BOD} = 0.273$$

$$K_{SS} = 0.202$$

を得、これらの値をもとに BOD 負荷(図-2, 3)では計算値と実測値とが良く合致しているが、初期流出時は計算値がやや高くなっている。これは実測資料が必ずしも降雨当初から採水して得られていないことによるものと考えられる。

5. 雨天時負荷流出

(1) 雨天時負荷流出モデル
雨天時に汚濁負荷がどのように流出し降雨が変ればそれがどのように変化してゆくかを推定することは下水道計画や公共用水域の保全管理に重要な役割を果たす。晴天時 下水道においても大きな変化をし処理に変動を与えているが、雨天時にはそれに加えて都市活動の中で発生した種々の物質が流出し簡単にそれらの挙動を表わすことが困難なのが実情である。

現在わが国で検討されたモデルを分類すると次のようになる。

- 1) 地表面流出と管きょ流出を区別せずひっくるめて取り扱うモデル
- 2) 管きょ系流出を中心とした流出モデル
- 3) 各流出系を1つ1つモデル化しそれらを総合化したモデル

1)については、①完全混合槽

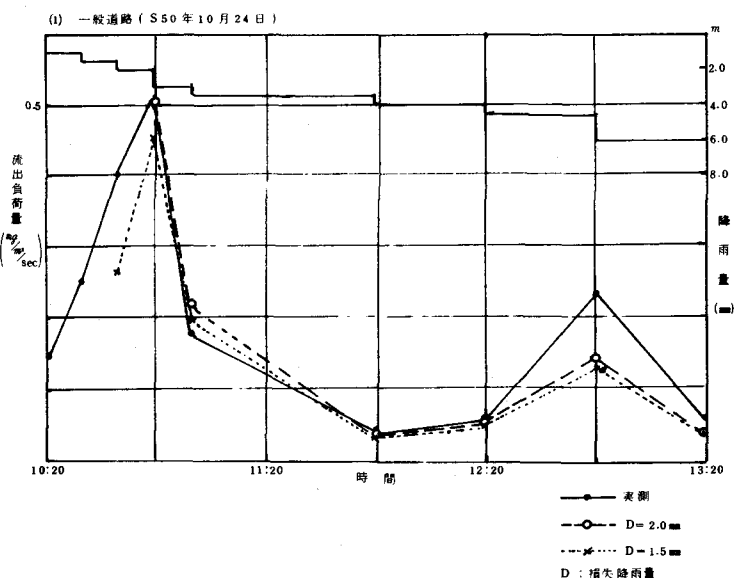
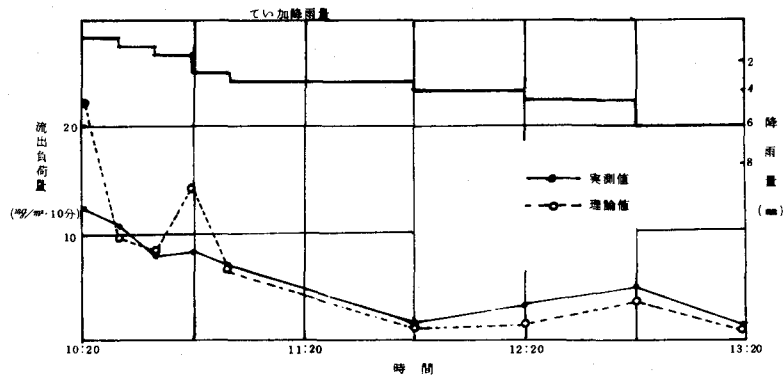


表-5 雨天時汚濁負荷流出モデル

| | | モ デ ル 分 類 | |
|--------------------------|----|--|---|
| | | 国 内 | 国 外 |
| 地表面流出、管きょ流出を区別せず合わせたモデル | | 1. 完全混合槽モデル 2. 特性方程式モデル 3. 貯留関数モデル | 1. エスペイモデル |
| 管きょ系を中心とした流出モデル | 単純 | 1. 汚濁負荷の運動モデル | |
| | 合成 | 1. 堆積負荷(評価)モデル 2. 掃流負荷モデル | 1. SWMM 2. バッテル都市排水管 理モデル 3. シカゴ流量シミュレ ーションモデル 4. STORM 5. MIT モデル 6. SOGREAH モデル 7. 水資源 SWMM |
| 各流出系を1つ1つモデル化し、それを総合したもの | | 1. 修正 RRL 法(水量) | 1. ISS モデル 2. ドルシコンサル モデル |

モデル⁷⁾、②特性方程式モデル²⁾、③貯留関数モデルがあげられ、2)については回帰式をもとにした、④汚濁負荷の運動の式があり、3)には⑤堆積負荷(評価)モデル¹⁾、⑥掃流負荷モデルがあげられる。これらを一覧表にすると表-5のようになる。

表-6 雨天時汚濁流出シミュレーションモデルの概要

| モ デ ル | 計 算 式 | 文 字 の 意 味 |
|--------------|---|---|
| 完全混合槽モデル | ① $\frac{dP}{dt} = -DP \Rightarrow P = P_0 e^{-Dt}$ (12-1) | P : 残存負荷量 D : 時間スケルト $= \frac{Q}{V}$ |
| | ② ①をといて $P_t + \Delta t = P_0 e^{-\frac{Q}{V} \Delta t}$ (12-2) | Q : 流量 V : 槽容量 |
| | ③ ある時間の流出量は $Q_s = P_0 (1 - e^{-\frac{Q}{V} \Delta t}) / \Delta t$ (12-3) | Δt : 時間ステップ |
| 稻場モデル | ① $\frac{\partial E}{\partial X} + \frac{\partial}{\partial t} \left(\frac{E}{U_s} \right) = \ell_d - a(1-\lambda) \frac{\partial H}{\partial t}$ (12-4) | E : 流出負荷量(単位巾) λ : 空隙率 |
| | ② $E = k_s h^{2.5}$, $U_s = k_s h^{2.0}$ (12-5) | U_s : 汚濁負荷流速 H : 堆積厚 |
| | ③ $\frac{\partial h}{\partial t} + \frac{\partial Q}{\partial X} = i + q_d$ (12-6) | x : 流下距離 a_d : 汚水量 |
| | ④ $q = k_s' h^{2.5}$ (12-7) | ⑤ ①～④より堆積汚物の変化は $a(1-\lambda) \frac{\partial H}{\partial t} = \ell_d - \frac{3}{2} kh^{2.5}(i+q_d) - \frac{1}{3} kh^{2.5} \frac{\partial h}{\partial t}$ (12-16) |
| 汚濁負荷運動(式)モデル | ① $Q_s = KQ^n$ (12-8) | Q_s : 流出負荷量 Q : 流量 |
| | ② $Q_s = KS^2 (Q - Q_c)$ (12-9) | Q_c : 限界掃流量 |
| | ③ $Q_s = KS^2 (Q - Q_c)$ (12-10) | |
| 堆積負荷評価モデル | ① $Q_s = KS^2 (Q - Q_c)$ (12-10) | Q_s : 流出負荷量 DWF_s : 晴天時負荷量 |
| | ② $\Delta S = S_2 - S_1 = (DWF_s - Q_s) \Delta t$ (12-11) | Q : 流量 ΔS : 堆積負荷量 |
| | $\approx \frac{(DWF_s + \Delta t + DWF_s - Q_{s,t+\Delta t} + Q_{s,t}) \Delta t}{2}$ (12-12) | Q_c : 限界掃流量 S : 残存負荷量 |
| 掃流負荷モデル | ① $M_p = AP(1 - e^{-K\Delta t}) / \Delta t$ (12-13) | M_p : 路面流出負荷量 I : 溝水こう配 |
| | ② $Q = Bhv$ (12-14) | A : 滞流域ブロック面積 Q_B : 掃流負荷量 |
| | $v = \frac{1}{0} R^{2/3} t^{1/2}$ | k : 流出減衰係数/流出係数 |
| | ③ $q_B = 6.6 U_s - 11$, $U_s = \sqrt{egh}$ (12-15) | R : 滞雨強度 B : 管きょ巾 |
| | ④ $q_B = 2057(h^{1/2} - 1)$ (12-16) | q_B : 底質汚泥浮上量 L : 管きょ長 |
| | ⑤ $Q_B = B \cdot q_B L \cdot P_s \times 10^{-2}$ (12-17) | h : 水深 P_s : 負荷換算率 |
| | | ここで、 (1)先行晴天日数<道路清掃間隔 $P = a(e^{-K/(1-e^{-K})})(1+e^{-Kn}) + P_0$ (12-19) |
| | | (2)先行晴天日数>道路清掃間隔 $P = P_0 (1-E)^m + a(e^{-K/(1-e^{-K})})(1-e^{-KL})$ $\times [(1-E)^m + (1-E)^{m-1} + \dots + (1-E)]$ $+ a(e^{-K/(1-e^{-K})})(1-e^{-K(n-mL)})$ (12-20) |

(2) モデルの特徴と利点

それぞれのモデルの概要は表-6にまとめて示す。完全混合槽モデルは、下水道システムを大きな1つの槽とみたてて、その中の負荷量の単位時間当たりの変化は下水道管きょ中に存在する負荷量に比例するとして、一般に使われる一次反応型のものである。モデルは、下水道システムを等価な表面流と考え、単位巾あたりの負荷の流出を、水質の連続の式、運動の式と、流量の連続の式、運動の式を連立することによって、流出負荷量を表わしたものである。理論的に明解な取り扱いを行っている。汚濁負荷運動モデルは、汚濁負荷の挙動は流量の関数と表わせると考え、実測値をもとに回帰式を作りこれを用いるもので、SSについてはブラウンの式とも一致し、その他の有機系の汚濁負荷の場合には、べきnは1.3～1.5の値をとることが稻場⁴⁾の研究で明らかにされている。地域的な特性を強く受けるため、nは地域ごとに求めるのが望ましいモデルである。しかし、ファーストフラッシュピーク流出時、減衰時を1つの式で表わすことが困難である。単純で明解であり、これに管きょ内貯留や、限界掃流量をもとに修正したモデルも用いられている。ただ、堆積汚濁量Sの評価がむずかしい。

この式のSを定量的に表わしたもののが堆積負荷(評価)モデルである。Sの推定はむずかしいが、各降雨、先行晴天日数の類似した資料をもとにすれば妥当な値を求めることができ、流出負荷量を算定することができる。掃流負荷モデルは、路面や屋根等の表面負荷量をSTORMモデルの概念を応用し、管きょ内流出負荷量は流量の連続式、運動の式、負荷量の運動の式として掃流による負荷の算定式を用いたもので、負荷流出換算係数によって求めたい汚濁負荷量を算定するものである。

各モデルの特徴、その長短所をまとめたのが表-7である。

(3) シミュレーション結果とモデル

前報⁶⁾で述べた大阪菊水排水区を対象にしてこれらのモデルの計算を行った結果の一部を図-4、図-5に示す。これらの計算を1つのモデルについて10余の降雨について求めた結果から得られたシミュレーション結果をもとにしたモデルの特徴について表-8に示す。

掃流負荷モデルは現在検討中である。

モデルの適合についての評価には次の4つが考えられる。

- ① ファーストフラッシュ時の適合
- ② ピーク流量時の適合
- ③ 減衰時の適合
- ④ 流出総負荷量の適合

雨天時負荷流出においてはファーストフラッシュ時とピーク流量時に多量の負荷量が流出し、減衰時には希釈効果も生じ、かつ晴天時負荷の影響もはじめ、雨水管理を行なってゆく場合には流量の制御が中心となるため、①、②に重点を置いた評価と、④とのバランスの上でモデルの適合度を評価してゆくべきであろう。

6. まとめ

雨天時の負荷流出の特徴を検討し、非点源汚濁負荷の制御の重要性を明らかにするとともに、管きょ内に堆積している負荷量の算定ならびにその特性について考察した。

雨天時負荷流出の中心である管きょ堆積負荷の他に、路面負荷の流出の状況を表わすモデルとその適用についても論じ、それらを総合し

表-7 モデルの特徴と長短所

| モデル | 特徴 | 長所 | 短所 |
|-----------|--|--|---|
| 完全混合槽モデル | 1. 我自運動を複数個の筋質によって表している。 2. 流れ速度が一定である。 3. ある時間内の負荷は一定であるとしている。 | 1. とり扱いが簡単で地域の概要を知るのに良い。 | 1. 汚濁物の流出挙動が表面流として等価で表されているため、現実の事象と対応させにくい。 2. Vの算定が難しい。 |
| 堆積モデル | 1. 汚濁物の流出挙動を表面流として等価で表現している。 2. 地域的な特徴に沿った負荷度を水深、水量の変化、運動の式を追加して求めている。 | 1. 積極的な汚濁原の機関が理解。 2. 地域的な特徴に沿った負荷度を水深、水量の変化、運動の式を追加して求めている。 3. ある因子の変化に対する水質変化的応答が記述しうる。 | 1. 汚濁物の流出挙動が表面流として等価で表されているため、現実の事象と対応させにくい。 2. モデルに沿う水深別の構造が困難。 3. 堆積負荷の運動がどのくらい表現するには少し理解がある。 |
| 汚漏負荷運動モデル | 1. 汚漏負荷の運動を底盤として等価で表現している。 2. 地域的な特徴を含んだ平均負荷流出を表現している。 | 1. 簡単に汎用汚漏負荷を求める。 | 1. 汚漏負荷の運動がカーブを描くため1つの式では対応しきれない。 2. ファーストフラッシュ、希釈が正しく表現できない。 3. 堆積負荷の運動がどのくらい表現するには少し理解がある。 |
| 堆積負荷評価モデル | 1. 汚漏負荷運動の式と連続の式により汚漏負荷度を求める。 2. 希釈能力を越える流量を対象としている。 | 1. 汚漏負荷の運動の式と連続の式を用いており、希釈と台数度が良い。 | 1. 比例定数 S_0 、K、m、n の決定が難い。 2. その他の資料から求める必要がある。 |
| 掃流負荷モデル | 1. 路面や樹木等の嵩山地出荷と、管きょ内の堆積負荷量を同時に考慮して求めめる。 2. 堆積負荷は、運動の式と底盤のえらひに付随の式らによる負荷度を算出し、底盤負荷量を導入する。 | 1. 汚漏物の底盤運動を路面等の表面度にによるものと、管きょ内の堆積負荷量の側方から表わしており、とり扱い方が簡単である。 | 1. 掃流負荷量が降雨の減衰、希釈時にも実際よりその方がの資料から求める必要がある。 |

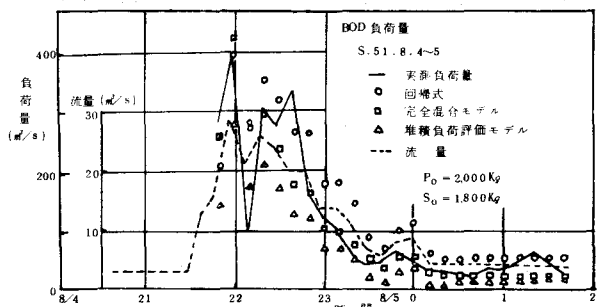


図-4 シミュレーション結果

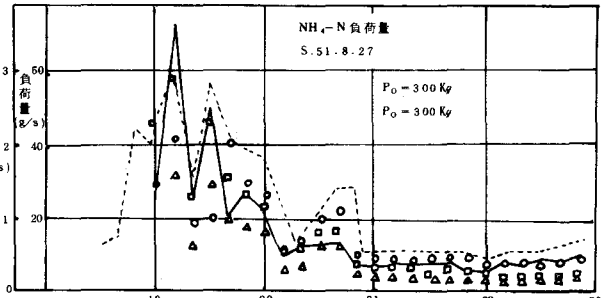


図-5 シミュレーション結果

表-8 シミュレーション結果の特徴

| 項目 | BOD | 完全混合槽モデル | 堆積負荷評価モデル |
|----------------|--|---|--|
| BOD | 1. 流量支配が大きく、特定地域で極端な降雨でなければ実測値との合致度は高い。 | 1. 負荷流出のピークまでは実測値との合致度は良いが、希釈作用の効いてくるところでは合致度は悪くなる。 | 1. S_0 を正しく評価すれば実測値との合致度は良くなるが、 S_0 の推定がむつかしい。 2. 汚漏負荷運動モデルを用いているので計算値はそれと似てくる。 |
| Cl⁻ | 1. 実測負荷量の変動が激しく合致しにくい。 | 1. 実測負荷量の変動が激しく合致しにくい。 | |
| NH₄-N PO₄-P | 1. 実測負荷量が小さく、水質変動もさほど極端な変化がないため、実測値との合致度は高い。 | 1. 負荷流出のピークまでは実測値とやや合致度は良くないが、ピーク後は比較的の合致度は良い。 | |

た雨天時負荷流出についてモデルの検討を行ないそれらの問題点と特徴について明らかにした。紙面の関係上詳細に述べられなかつたが、モデルの特徴をその活用用途によって考慮してゆく必要があり、今後こ

の面の評価の研究が必要となってこよう。地域の実情によって地域での発生負荷が変わり、雨天時負荷流出も大きく変化する。従って、都市の実情と用途に応じたモデルの検討が必要である。

参考文献

- 1) 日本下水道協会；昭和50年度合流式下水道東京都報告書，1975年
- 2) 稲場紀久雄；雨天時下水道水量水質の制御に関する研究，学位論文，1975年2月
- 3) 中西弘；上下水の酸化処理に関する2,3の研究，学位論文，昭和41年12月
- 4) James D. Sartor and Gail B. Boyd；Water Pollution Aspects of Street Surface Contaminants, EPA-R2-72-081, NOV., 1972
- 5) Storage, Treatment, Overflow, Runoff Model "STORM", U.S. Army Corps of Engineer, July, 1976, 723-S8-L7520
- 6) 神山桂一他；合流式下水道における雨天時流出汚濁負荷量について、土木学会年講，S50.10.